

특별강연 Ⅲ

화학 증착 (CVD)에 의한 선택적 수소 투과성 SiO_2 무기막의 제조

남석우, 홍성안

한국과학기술연구원 (KIST) 에너지 .반응공정연구실

무기물질로 제조된 분리막은 대부분의 유기고분자 분리막에 비하여 열에 강하고, 구조의 안정성이 있으며, 유독 물질 및 미생물등에 영향을 덜받는다는 장점이 있어 폐수 처리, 식품 가공 및 생물 공학적 분리 목적으로 많은 연구가 진행되어 왔다. 최근 재료기술의 발달로 양질의 세라믹 분리막이 제조 가능하게 되었으며 다공성 alumina, zirconia, glass 분리막은 현재 4 nm - 5 μm 의 기공 범위로 상용화 되어 있다.

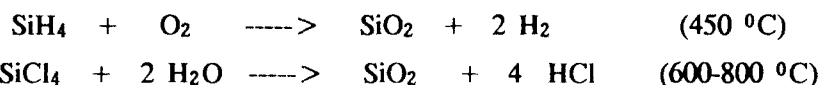
가스분리용 무기막으로는 다공성 무기막과 함께 비다공성 물질들이 연구되었다. 이러한 무기분리막은 적절한 투과도와 선택도를 지닐 경우 200 °C 이상의 고온에서 가스 분리에 적당할 뿐 아니라 고온 측면 반응에서의 반응성 향상을 위한 분리막 반응기로서도 응용이 가능하다. 다공성 무기막으로는 microporous glass, alumina 등이 가스 분리 및 분리막 반응기로서 응용이 검토되었으나 가스의 투과도는 높은 반면 가스 분리에 있어서의 선택도는 주로 Knudsen diffusion에 의하여 결정되는 너무 낮은 값을 나타내어 분리막 반응기등에 사용하기는 적절하지 않다. 이에 비하여 비다공성 금속, 세라믹 또는 glass를 통한 가스 분리의 경우 activated diffusion 등에 의한 선택도는 매우 높다. Palladium 및 zirconium 등의 금속은 수소의 선택도가 매우 높아 수소분리 및 탈수소화반응과 연계하여 연구가 진행되어 왔으며, 금속물질 이외에는 silica glass가 수소에 대한 선택도가 높다고 알려져 있다. 그러나 비다공성 물질 자체를 분리 막으로 사용할 경우 가스의 투과도는 매우 낮은 단점이 있다.

따라서 다공성 무기막에 선택적 투과성을 가지는 비다공성 물질을 얇은 막 (film)의 형태로 제조하면 가스 분리에 적절하게 되며 막의 강도도 향상된다. 이러한 박막 제조 방법에는 sol-gel/dip coating 등의 액상합성법과 화학증착

(CVD) 등의 기상합성법이 있으며, sol-gel 을 이용한 microporous alumina 및 titania 막 등의 제조 연구가 현재 활발히 수행되고 있다. 본 연구에서는 microporous glass 를 지지체로 CVD 를 이용하여 SiO_2 막을 제조하고, 수소분리 무기막으로서의 특성을 조사하였다.

CVD 에 의한 SiO_2 막의 제조

SiO_2 막은 CVD 방법에 의하여 다공성 glass 표면에 제조되었다. CVD 에는 다음과 같은 SiH_4 의 산화반응과 SiCl_4 의 가수분해 반응이 사용되었다.



지지체로 사용된 microporous glass 는 Corning 7930 porous Vycor glass tube이며 기공의 크기는 4 nm 이었다. 반응 방법은 그림 1 과 같은 두 가지 형태로 진행되었다.

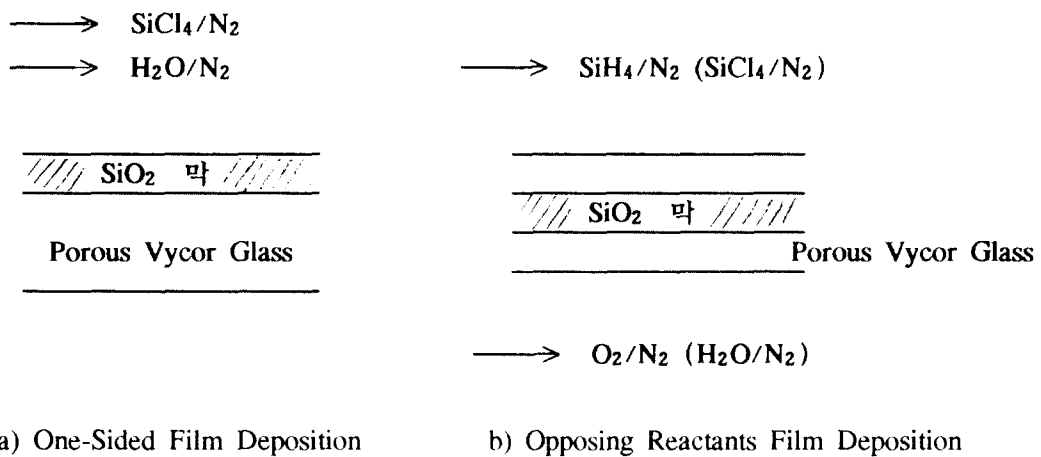


그림 1 CVD 에 의한 SiO_2 막 제조의 형태.

이중 one-sided film deposition 방법은 두가지 반응물을 다공성 glass tube 의 한 쪽으로 동시에 보내면서 CVD 반응을 진행하는 것이며 이 경우 SiO_2 막은 다공성 glass 의 한쪽 표면에 제조된다. 두번째 방법인 opposing reactants film deposition 방법은 두가지 반응물 중 한가지는 다공성 glass tube 의 내부로, 나머지 반응물은 다공성 glass 의 외부로 보내어 이 두가지 반응물이 다공성 glass 내부의 기공을 통하여 확산되면서 만나는 반응 front 에서 CVD 에 의하여 SiO_2 막이 형성되는 방법이다. 이 경우 microporous glass 의 기공에 막 형성이 계속되어 기공이 막히면 더이상 반응이 일어나지 않게된다.

SiO_2 막의 가스투과 특성

SiH_4 의 산화반응이 opposing reactants film deposition 방법으로 진행될 경우 제조된 SiO_2 막을 통한 수소와 질소의 투과특성은 그림 2 와 같다. 450°C 에서 반응 전 film 이 형성되지 않은 다공성 glass 의 경우 수소의 투과속도는 $0.7 \text{ cm}^3(\text{STP})/\text{cm}^2\text{-min-atm}$ 정도이며, 수소의 질소에 대한 투과속도비는 3.5 - 3.7 정도로 Knudsen diffusion 에 의하여 예측되는 선택도 3.74 에 근접함을 알 수 있다. SiO_2 deposition 반응이 진행될 수록 질소의 투과속도는 급격히 감소하는 반면 수소의 투과속도는 처음에 비하여 $1/3$ 정도 줄어들어 반응 시간이 30 분 정도가 되면 수소/질소의 투과도비는 2000 이상이 된다. CVD 반응이 완료된 SiO_2 막의 온도에 따른 수소, 질소의 투과특성은 그림 3 과 같으며 온도가 증가할수록 수소의 투과속도는 증가하는 반면 질소의 투과속도는 감소한다. SiO_2 막을 통한 수소의 이동은 activated diffusion 현상을 따르며 activation energy 는 35 kJ/mole 로서 수소-fused quartz 의 37 kJ/mole 에 가깝다.

SiCl_4 의 가수분해 반응에 의하여 SiO_2 막을 제조할 경우에도 수소, 질소의 투과속도는 SiH_4 의 산화반응에서와 마찬가지 형태로 변화한다 (그림 4). 이 경우 one-sided deposition 방법이 opposing reactants film deopsition 방법과 같이 효과적이며, 수소/질소의 투과도비는 $600\text{-}700^{\circ}\text{C}$ 에서 500 이상이다. SiCl_4 의 가수분해 반응에 의하여 제조된 SiO_2 의 경우 온도에 따른 수소 및 질소의 투과속도는 그림 5 와 같다. SiH_4 의 산화반응으로 제조된 SiO_2 와는 달리 수소, 질소의 투과는 모두 activated diffusion 을 따르며 activation energy 는 수소, 질소 각각에 대하여 37 kJ/mole, 60 kJ/mole 이었다.

+ Activated pore diffusion.

SiH_4 의 산화반응에 의하여 제조된 SiO_2 막은 열 처리에 의한 film densification 등의 현상으로 가스의 투과 속도가 변하게 되나 SiCl_4 의 가수분해 반응에 의하여 SiO_2 막을 제조할 경우 높은 반응 온도로 인하여 보다 안정된 막을 얻을 수 있다. SiH_4 의 산화반응에 의하여 제조된 SiO_2 막에서 온도 변화에 따른 질소의 투과는 Knudsen diffusion 에의한 경향을 나타내며 이는 불안정한 film 의 pinhole 을 통한 투과 속도를 나타낸다. 반면 수소는 SiO_2 막을 통하여 잘 투과된다.

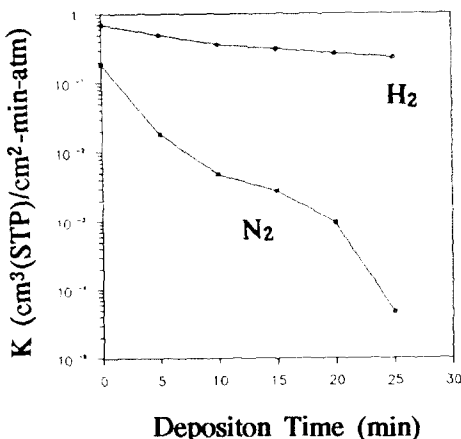


그림 2 CVD ($\text{SiH}_4 + \text{O}_2$ at 450°C)
에 의한 SiO_2 film 제조시
 H_2 , N_2 투과속도의 변화.

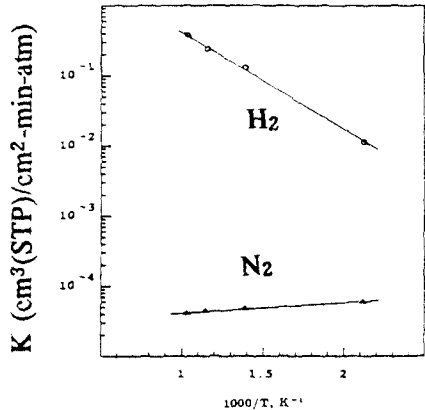


그림 3 온도 변화에 따른 H_2 , N_2 투과
속도 : SiO_2 film ; $\text{SiH}_4 + \text{O}_2$.

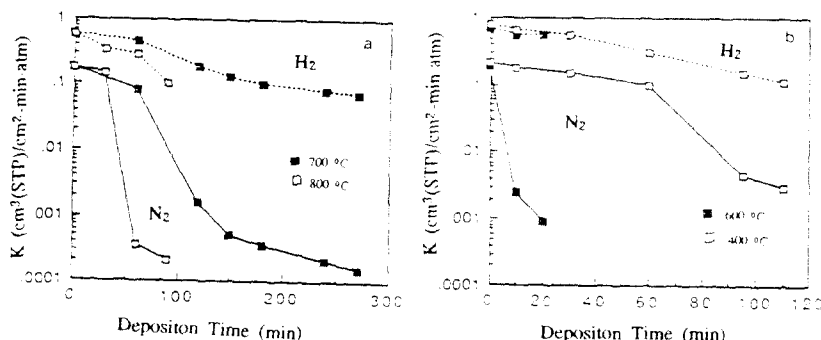


그림 4 CVD ($\text{SiCl}_4 + \text{H}_2\text{O}$)에 의한 SiO_2
film 제조시 H_2 , N_2 투과속도의 변화.
a : opposing reactants film deposition.
b : one-sided film deposition.

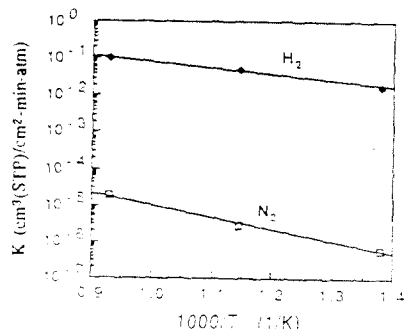


그림 5 온도 변화에 따른 H_2 ,
 N_2 투과 속도 : SiO_2
film ; $\text{SiCl}_4 + \text{H}_2\text{O}$.